

ОЦЕНКА НИЖНЕГО ВОЗРАСТНОГО ПРЕДЕЛА НЕОПРОТЕРЗОЙСКОЙ СОКОЛЬНИНСКОЙ СВИТЫ СЕВЕРО-ЗАПАДНОГО ПАЙ-ХОЯ НА ОСНОВЕ U-Pb ДАТИРОВАНИЯ ДЕТРИТНЫХ ЦИРКОНОВ

T.A. Канева¹, O.B. Удоратина¹, E.B. Старикова², B.B. Хубанов^{3,4}

¹ Институт геологии Коми НЦ УрО РАН, Сыктывкар

² ЗАО «Поляргео», Санкт-Петербург

³ Геологический институт СО РАН, Улан-Удэ

⁴ Бурятский государственный университет, Улан-Удэ

Поступила в редакцию 25.10.15

Приведены результаты U-Pb-изотопного датирования детритных цирконов из песчаников нижнесокольнинской подсвиты северо-западного Пай-Хоя. Установлено, что нижний возрастной предел формирования сокольнинской свиты соответствует окончанию позднего рифея — венду (634–705 млн лет). Песчаники нижнесокольнинской подсвиты образовывались за счет накопления продуктов размыва позднерифейских островодужных магматических пород. Отсутствие окатанности и сортировки материала указывает на близкое расположение источников сноса.

Ключевые слова: песчаники, детритные цирконы, поздний рифей, источники сноса.

В последние годы получены новые данные по строению выходовprotoуралид-тиманид в Западной мегазоне Полярного Урала — вулканитов и осадочных пород, выделяемых в составе докембрийских разрезов поднятий Енганэ-пэ и Оченырд. По обломочным цирконам установлено, что верхнерифейские и вендские терригенные и терригенно-вулканогенные образования на поднятии Енганэ-пэ формировались субсинхронно вулканогенным комплексам бедамельской серии. В Пайхойском антиклинарии докембрийская вулканогенно-осадочная толща,участвующая в строении ядра Амдерминской антиклинальной структуры, весьма сходна по своему составу с комплексом protoуралид-тиманид Западной мегазоны Полярного Урала, и их корреляция является очень актуальной задачей на сегодняшний день.

Изотопное датирование осадочно-вулканогенных толщ на северо-западе Пай-Хоя ранее не проводилось. Возраст амдерминской и морозовской свит определен по онколитам в диапазоне поздний рифей — венд, сокольнинские отложения в верхней части датированы по присутствию вендских акритарх (Забродин, Шляхова, 1970; Маслов, Шляхова, 1972; Терешко, 1983, 1987, 1990). Комплексы микрофиллитов амдерминской и морозовской свит практически тождественны и охватывают интервал, которым датированы отложения сокольнинской свиты. Относительное положение докембрийских свит в сводном стратиграфическом разрезе Амдерминского поднятия палеонтологически не обосновано и базируется исключительно на общегеологических данных. На основании последних реконструирована историко-геологическая последовательность

формирования отложений островодужного (морозовская свита и нижнесокольнинская подсвита) и орогенного (верхнесокольнинская подсвита) этапов. Позиция карбонатных шельфовых отложений амдерминской свиты в данной последовательности неоднозначна. Принимается, что накопление амдерминских карбонатов предваряло этап активного вулканизма (Шишкун и др., 2012) или происходило одновременно с ним в тылу Большеземельской активной окраины Арктиды, где и проявлялся этот вулканизм (Кузнецов, 2009).

В настоящее время в рамках геологического изучения территории Пай-Хоя (ГДП-200, ЗАО «Поляргео», г. Санкт-Петербург) предпринята попытка решить вопрос о возрастных взаимоотношениях верхнедокембрийских стратиграфических подразделений Амдерминского блока на основе их датирования хемостратиграфическими и изотопно-геохронологическими методами. Методы датирования выбраны исходя из петрографических/литологических особенностей пород. Карбонатные отложения амдерминской свиты анализировались методом хемостратиграфического датирования — $^{87}\text{Sr}/^{86}\text{Sr}$ (SIS-корреляция) (Кузнецов, Старикова, 2016), кислые и основные вулканиты из разрезов морозовской свиты и нижнесокольнинской подсвиты исследуются U-Pb методом (SHRIMP II, ЦИИ ВСЕГЕИ) по единичным цирконам, а для терригенных образований из этих разрезов применено U-Pb (LA-ICP-MS) датирование обломочных цирконов. Ниже приводятся первые результаты определения возраста детритных цирконов, выделенных из песчаников сокольнинской свиты.

Геологическое строение района

На северо-западе Пай-Хоя расположен Амдерминский блок (рис. 1), в ядре которого на дневную поверхность выступает сложно устроенный комплекс пород, относимый к верхнему докембрию и несогласно перекрытый ордовикскими (верхнекембрийско-ордовикскими) отложениями (Кузнецов и др., 2009; Тимонин и др., 2004). Блок представляет собой горст-антиклиниорий, северо-восточное крыло которого сложено карбонатными отложениями верхнерифейской амдерминской свиты, а

юго-западное — вулканогенно-осадочными (островодужными) и терригенными (орогенными) комплексами пород верхнерифейской морозовской свиты и относимой к верхнему рифею — венду сокольниковой свите. Внутреннее строение докембрийского комплекса, обнаженного в пределах Амдерминского блока, осложнено крупным продольным надвигом, проходящим в восточной части блока. По этому надвигу отложения, распространенные в осевой части блока и на его юго-западе надвинуты на породы, слагающие северо-восточную часть Амдерминского блока.

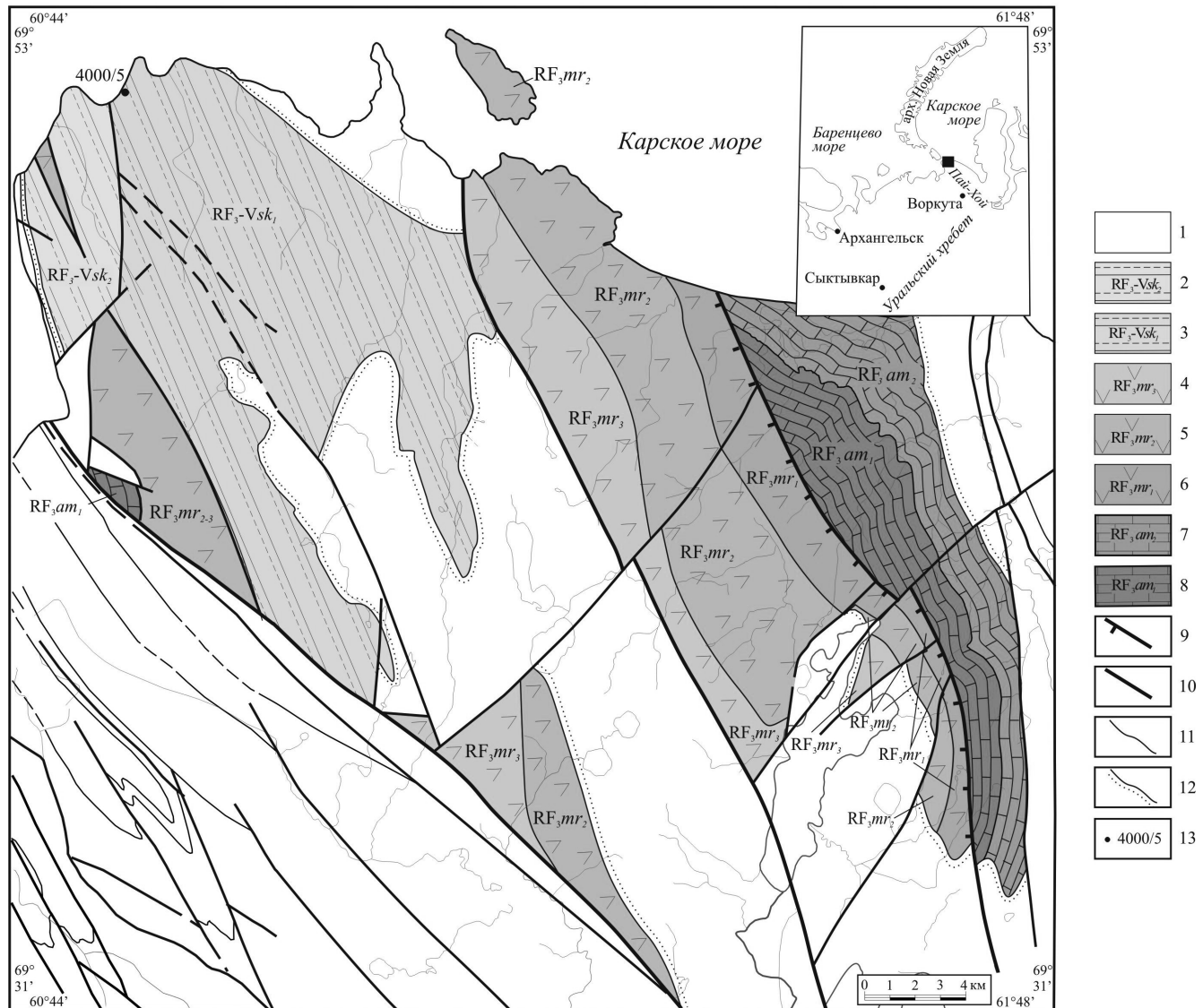


Рис. 1. Схема строения Амдерминского блока, северо-западный Пай-Хой (по материалам ГДП-200 ЗАО «Поляргео», 2015 г.): 1 — палеозойские отложения нерасчлененные; 2 — сокольниковская свита, верхняя подсвита (RF_3-Vsk_2): песчано-аргиллитовые флишоиды, песчаники, алевролиты, аргиллиты, прослои туффитов; 3 — сокольниковская свита, нижняя подсвита (RF_3-Vsk_3): песчаники, алевролиты, гравелиты, кремнистые сланцы, туфопесчаники, базальты, андезиты, риодакиты, риолиты и их туфы, субулканические образования; 4 — морозовская свита, верхняя подсвита (RF_3mr_3): сланцы глинистые, известняки, доломиты, базальты, андезибазальты, андезиты, риодакиты, их туфы, туфопесчаники; 5 — морозовская свита, средняя подсвита (RF_3mr_2): сланцы по кислым туфам, реже — лавам, туфопесчаникам, вулканомиктовые песчаники, линзы доломитов, редко — прослой базальтов, андезибазальтов, субулканические и экструзивно-жерловые образования; 6 — морозовская свита, нижняя подсвита (RF_3mr_1): сланцы глинистые, кремнистые и углеродистые, известняки, доломиты, известковистые алевролиты и песчаники, полимиктовые конгломераты и гравелиты, туфогравелиты; 7 — амдерминская свита, верхняя подсвита (RF_3am_2): кристаллические, микрофитолитовые известняки, редкие линзы кремней; 8 — амдерминская свита, нижняя подсвита (RF_3am_1): тонкокристаллические углеродистые известняки; 9 — надвиги; 10 — разрывные нарушения; 11–12 — границы стратиграфических подразделений: 11 — согласные; 12 — несогласные; 13 — точка отбора пробы 4000/5.

Объект и методы исследования

В строении сокольинской свиты участвуют разнообразные вулканогенно-осадочные и осадочные (терригенные) породы. Она разделяется на две подсвиты: нижнесокольинскую (вулканогенно-осадочную) и верхнесокольинскую (ритмично-слоистую, флишоидную, терригенную).

Нижнесокольинская подсвита характеризуется присутствием обломочных, преимущественно вулканомиктовых пород и вулканитов. Вверх по разрезу отмечается постепенное уменьшение доли вулканитов и изменение их химического состава в сторону доминирования более кислых разностей (базальты, андезибазальты и их туфы в основании; андезиты, дацизы и риодакиты — в верхней части подсвиты). Вулканомиктовые породы в нижней части подсвиты представлены грубообломочными разностями (конгломераты, гравелиты, песчаники), выше они постепенно сменяются средне- и мелкозернистыми песчаниками с прослоями алевролитов. Мощность подсвиты оценивается в 1200–1500 м. Вулканогенные породы нижнесокольинской подсвиты формировались, по-видимому, в пределах периферической части островодужного сооружения на завершающей стадии его развития.

Верхнесокольинская подсвита представлена достаточно однообразной толщей песчано-аргиллитовых (в кровле — преимущественно аргиллитовых) ритмитов с единичными прослойями вулканитов и туфогенно-обломочных пород среднего и кислого состава мощностью более 600 м. Флишеподобный комплекс формировался в бассейне, располагавшемся на склоне «отмирающей» островной дуги, во фронтальной или осевой части которой еще продолжалась вулканическая активность.

Изученная проба (4000/5) отобрана в 2014 г. из выдержанной пачки массивных песчаников мощностью более 30 м, располагающейся близко к кровле нижнесокольинской подсвиты, в районе устья безымянного ручья, впадающего в Карское море между мысами Ярасаля и Пэхард (координаты $69^{\circ}50'02,0''$, $60^{\circ}50'23,1''$). Пачка, из которой была отобрана проба, сложена преимущественно песчаниками средне-крупнозернистыми коричневато-серого цвета с тонкими прослойками (до 10 см) и линзами темно-серых алевролитов и редкими прослойками (до 1 м) мелкозернистых зеленовато-серых туфопесчаников.

Из пробы по стандартной методике (дробление вручную в чугунной ступке, разделение на фракции, бромоформирование) выделена монофракция циркона и интегрирована в эпоксидную шашку. Изучение цирконов в режиме отраженных электронов было проведено в ЦКП «Геонаука» ИГ Коми НЦ УрО РАН (г. Сыктывкар) на сканирующем электронном микроскопе TESCAN VEGA3 LMH с энерго-дисперсионной приставкой X-MAX Oxford instruments. Исследования в режиме катодолюминесценции выполнены на электронном микро-

скопе «LEO1450», оснащенном катодолюминесцентной приставкой «PANA CL» в ГИ КНЦ РАН (г. Апатиты). Определение U-Pb изотопного возраста цирконов проведено с помощью лазерной абляции UP-213 (NewWave Research) и одноколлекторного магнитно-секторного масс-спектрометра с индуктивно-связанной плазмой Element XR (Thermo Science) (LA-ICP-FS-MS метод) в лаборатории физических методов анализа ГИН СО РАН (г. Улан-Удэ). Методика измерения, обработка масс-спектрометрического сигнала, расчет изотопных отношений и возраста изложены в работе (Хубанов и др., 2016). Применялось лазерное излучение с частотою импульсов 10 Гц, плотностью потока энергии 3,5 Дж/см² и диаметром пучка излучения 25 мкм. В качестве внешних стандартов и контрольных образцов использовались эталонные цирконы Plešovice (Sláma et al., 2008) и 91500 (Wiedenbeck et al., 1995). При анализе результатов исследований использованы оценки возраста, рассчитанные по отношению $^{206}\text{Pb}/^{238}\text{U}$.

Литолого-геохимическая характеристика песчаника

Изученный песчаник имеет разнозернистую псаммитовую структуру и неслоистую текстуру (рис. 2), состоит (здесь и далее об. %) из кластического материала (95%) и цемента (5%) с небольшим количеством сульфидов. Кластический материал состоит из обломков минералов (90%) и горных пород (10%). Минералы в обломках представлены полевым шпатом, в том числе альбитом и в меньшем количестве калиевым полевым шпатом, кварцем, десятками зерен лейкоксена и редкими или единичными зернами гематита, циркона и апатита, листочками хлорита. Цемент соприкосновения сложен тонкочешуйчатым агрегатом хлорита с землистым лейкоксеном и тонкозернистым агрегатом кальцита. В обломках пород угловатой формы присутствуют эффузивы основного и кислого состава и в редких случаях — гранитоиды и микропегматиты. Обломочный материал в большинстве своем слабо окатан, плохо сортирован и представлен следующими фракциями: псаммитовой мелкозернистой (0,1–0,25 мм) — 40–50%; псаммитовой среднезернистой (0,25–0,5 мм) — 35–40%; псаммитовой крупнозернистой (0,5–1 мм) — 15–20%; псаммитовой грубозернистой (1–2 мм) — 5%.

Песчаник имеет следующий химический состав (мас. %): SiO_2 — 63,48%, TiO_2 — 0,53%, Al_2O_3 — 16,06%, Fe_2O_3 — 1,19%, FeO — 3,73%, MnO — 0,075%, MgO — 3,18%, CaO — 1,19%, Na_2O — 4,78%, K_2O — 2,76%, P_2O_5 — 0,14%, CO_2 — 0,28%. По результатам нормативного минерального пересчета песчаник состоит из плагиоклаза № 8 (43,8%), ортоклаза (15,0%), кварца (21,3%), хлорита (16,4%), мусковита (1,6%), лейкоксена (0,7%), кальцита (0,6%), апатита (0,3%) и гематита (0,2%).

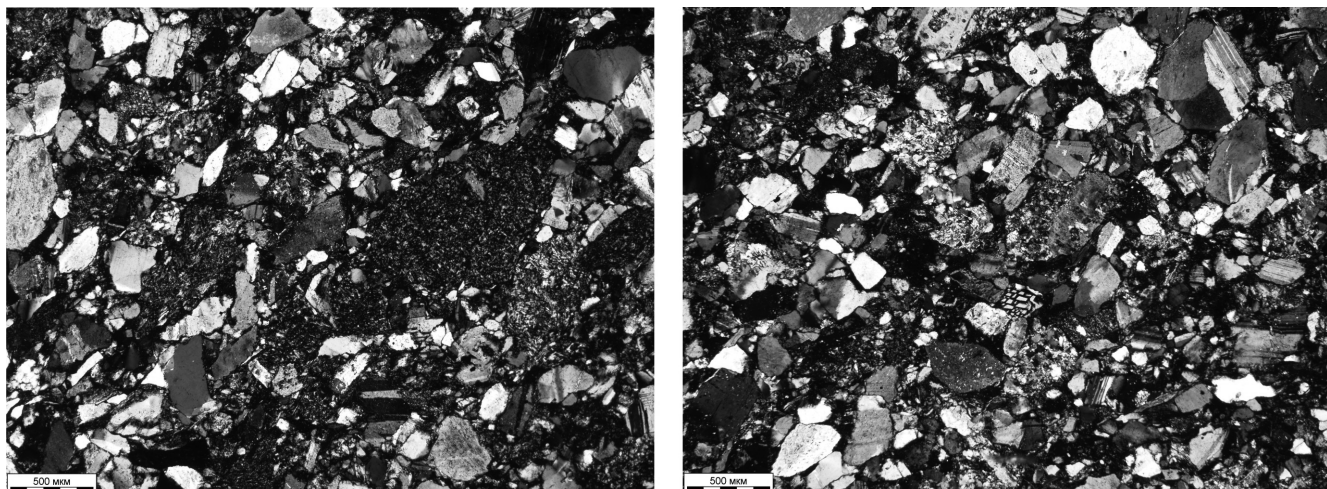


Рис. 2. Микрофотографии песчаников пробы 4000/5

По классификации Ф. Петтиджона и др. (1976), песчаник пробы 4000/5 относится к грауваккам. По значениям гидролизатного модуля ($\text{GM} = 0,33$) и $\text{MgO} = 3,18\%$ песчаник характеризуется невысоким уровнем зрелости с низкой степенью химического выветривания и относится к псевдосиаллитам. Породы с содержанием $\text{MgO} > 3,0$ мас. %, по мнению Я.Э. Юдовича и М.П. Кетрис (2000), являются базитовыми туффоидами. Модуль НКМ (модуль нормированной щелочности = $\text{Na}_2\text{O} + \text{K}_2\text{O}/\text{Al}_2\text{O}_3$) для изученных песчаников $> 0,31$. Это служит указанием на присутствие в породе неизмененного калиевого полевого шпата (Юдович, Кетрис, 2000). Для типизации породы был использован также фемический модуль ΦM (для изученных песчаников $\Phi\text{M} = 0,12$). Высокое значение ΦM ($> 0,1$) свойственно вулканокластическим грауваккам (Юдович, Кетрис, 2000).

Предположительным источником поступления обломочного материала (согласно диаграмме F3 — F4

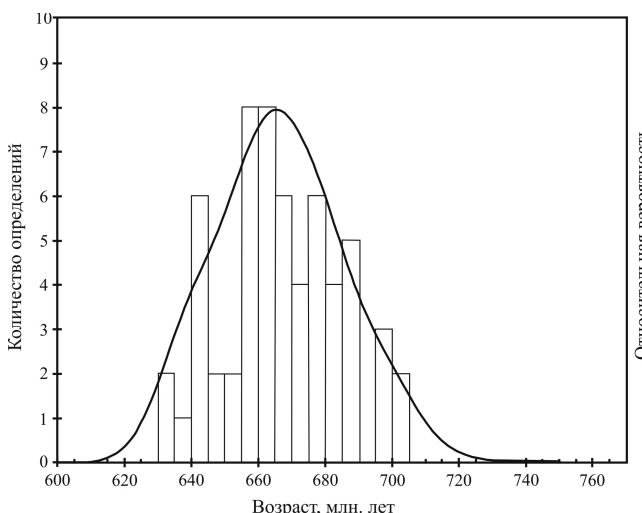


Рис. 3. Гистограмма и кривая плотности вероятности распределения датировок детритных цирконов из песчаников пробы 4000/5

(Roser, Korsch, 1986)) в осадочный бассейн, в котором сформировались изученные песчаники верхненесокольнинской подсвиты, были изверженные породы кислого и среднего состава. Для интерпретации палеогеодинамических обстановок формирования этих песчаников использовалась диаграмма $\text{SiO}_2 - \text{K}_2\text{O}/\text{Na}_2\text{O}$ (Roser, Korsch, 1986), на которой точка состава изученного песчаника попадает в область океанических островных дуг.

Результаты изучения цирконов

Цирконы, выделенные из пробы 4000/5, — это неокатанные кристаллы короткопризматического габитуса с коэффициентом удлинения — 1:2, а также их обломки. В кристаллах хорошей сохранности нередко отмечаются гиациントовые головки. Встречаются цирконы: 1) прозрачные бесцветные; 2) прозрачные розоватые с сиреневым оттенком; 3) прозрачные желтые и единичные зерна малинового и темно-желтого цвета. Также в цирконах присутствуют черные включения. Размер варьирует от 50 до 200 мкм.

Произведено 60 анализов U-Pb изотопной системы 60 зерен цирконов из пробы 4000/5 (таблица). Одно из этих измерений характеризуется высокой степенью дискордантности. Оно не было учтено в дальнейших построениях. Возраст остальных 59 зерен распределен в довольно узком диапазоне от 634,2 до 704,8 млн лет с единственным максимумом, равным 666 млн лет (рис. 3).

Таким образом, при формировании опробованного песчаникового пласта в осадок материал поступал, судя по морфологии и особенностям строения кристаллов, из нескольких источников. Этими источниками являлись исключительно позднериейские магматические породы (интрузивные и эфузивные). Отсутствие окатанности и сортированности материала указывает на близкое расположение питающих источников сноса.

Таблица

Результаты U-Pb (LA-ICP-MS) датирования дегритовых цирконов из сокольинской свиты

№ ТОЧКИ	Изотопные соотношения				Rho	Возраст, млн лет						D, %
	$^{207}\text{Pb}/^{235}\text{U}$	1σ	$^{206}\text{Pb}/^{238}\text{U}$	1σ		$^{206}\text{Pb}/^{238}\text{U}$	1σ	$^{207}\text{Pb}/^{235}\text{U}$	1σ	$^{207}\text{Pb}/^{206}\text{Pb}$	1σ	
1	2	3	4	5	6	7	8	9	10	11	12	13
1	0,95017	0,07577	0,11049	0,00193	0,22	675,60	11,22	678,20	39,45	686,80	163,04	0,38
2	0,97169	0,06712	0,11218	0,00186	0,24	685,40	10,81	689,30	34,57	702,30	142,32	0,57
3	0,91503	0,09761	0,10763	0,00228	0,20	659,00	13,25	659,70	51,76	662,40	215,26	0,11
4	0,90919	0,04483	0,10673	0,00145	0,28	653,70	8,43	656,60	23,84	666,80	104,15	0,44
5	0,98655	0,04807	0,10707	0,00141	0,27	655,70	8,20	697,00	24,57	832,50	100,29	6,30
6	0,93777	0,05589	0,10919	0,00157	0,24	668,10	9,10	671,10	29,29	684,20	124,22	0,54
7	0,88537	0,06649	0,10439	0,00170	0,22	640,10	9,95	643,90	35,81	657,50	155,15	0,59
8	0,94123	0,08872	0,11049	0,00179	0,17	675,60	10,41	673,50	46,41	666,70	190,93	-0,31
9	0,94071	0,02420	0,11058	0,00121	0,43	676,10	7,04	673,30	12,66	663,80	56,79	-0,41
10	0,93182	0,01788	0,10898	0,00105	0,50	666,80	6,08	668,60	9,40	674,80	43,20	0,27
11	0,96117	0,01817	0,11113	0,00109	0,52	679,30	6,30	683,90	9,41	699,50	42,57	0,68
12	0,99757	0,03120	0,11469	0,00142	0,40	699,90	8,19	702,60	15,86	711,40	67,77	0,39
13	0,98923	0,07138	0,11553	0,00205	0,25	704,80	11,86	698,30	36,44	677,90	149,11	-0,92
14	0,87943	0,11427	0,10466	0,00183	0,13	641,70	10,65	640,70	61,74	637,50	258,35	-0,16
15	0,99538	0,04292	0,11455	0,00159	0,32	699,10	9,19	701,50	21,84	709,30	91,42	0,34
16	0,92702	0,08885	0,10823	0,00190	0,18	662,40	11,07	666,10	46,82	678,80	193,97	0,56
17	1,00727	0,07091	0,11481	0,00224	0,28	700,60	12,98	707,50	35,87	729,90	144,93	0,98
18	0,99714	0,09715	0,11260	0,00212	0,19	687,90	12,29	702,40	49,39	749,50	194,76	2,11
19	0,93288	0,02513	0,10999	0,00127	0,43	672,70	7,38	669,20	13,20	657,80	59,56	-0,52
20	0,96562	0,02923	0,11245	0,00136	0,40	687,00	7,89	686,20	15,10	684,20	65,97	-0,12
21	0,91341	0,10734	0,10908	0,00182	0,14	667,40	10,58	658,90	56,96	630,30	235,62	-1,27
22	0,93389	0,06156	0,10867	0,00166	0,23	665,00	9,67	669,70	32,32	686,10	136,43	0,71
23	0,94008	0,04663	0,10983	0,00146	0,27	671,70	8,48	672,90	24,41	677,50	104,40	0,18
24	0,95489	0,05945	0,11173	0,00212	0,30	682,80	12,30	680,60	30,88	674,10	130,71	-0,32
25	0,92679	0,02867	0,10819	0,00136	0,41	662,20	7,89	665,90	15,11	679,10	67,65	0,56
26	0,94303	0,03091	0,11018	0,00140	0,39	673,80	8,11	674,50	16,15	677,30	71,29	0,10
27	0,91093	0,03320	0,10739	0,00147	0,38	657,60	8,57	657,60	17,64	658,10	79,20	0,00
28	0,91706	0,06058	0,10812	0,00181	0,25	661,80	10,55	660,80	32,09	658,00	137,81	-0,15
29	0,88515	0,03854	0,10496	0,00130	0,28	643,40	7,57	643,80	20,76	645,70	92,72	0,06
30	0,89245	0,04977	0,10562	0,00157	0,27	647,20	9,14	647,70	26,70	650,00	117,45	0,08
31	0,90024	0,04211	0,10698	0,00173	0,35	655,20	10,08	651,90	22,50	641,10	100,56	-0,50
32	0,94640	0,09439	0,11076	0,00212	0,19	677,20	12,31	676,20	49,24	673,90	201,47	-0,15
33	0,89768	0,06021	0,10490	0,00161	0,23	643,10	9,42	650,50	32,22	677,10	138,88	1,15
34	0,87057	0,03297	0,10881	0,00158	0,38	665,80	9,17	635,90	17,90	531,10	84,14	-4,49
35	0,87594	0,03411	0,10337	0,00128	0,32	634,20	7,48	638,80	18,46	656,00	83,58	0,73

Окончание табл.

№ точки	Изотопные соотношения				Rho	Возраст, млн лет						D, %
	$^{207}\text{Pb}/^{235}\text{U}$	1σ	$^{206}\text{Pb}/^{238}\text{U}$	1σ		$^{206}\text{Pb}/^{238}\text{U}$	1σ	$^{207}\text{Pb}/^{235}\text{U}$	1σ	$^{207}\text{Pb}/^{206}\text{Pb}$	1σ	
1	2	3	4	5	6	7	8	9	10	11	12	13
36	0,87615	0,03922	0,10439	0,00158	0,34	640,10	9,25	638,90	21,23	635,50	96,39	-0,19
37	0,92560	0,04282	0,10832	0,00156	0,31	663,00	9,09	665,30	22,58	674,10	98,41	0,35
38	0,95139	0,02357	0,11245	0,00126	0,45	687,00	7,29	678,80	12,27	652,80	55,17	-1,19
39	1,00382	0,04449	0,11143	0,00140	0,28	681,10	8,15	705,70	22,54	786,00	92,36	3,61
40	0,88247	0,04782	0,10338	0,00143	0,26	634,20	8,37	642,30	25,79	671,80	113,70	1,28
41	0,96636	0,06851	0,11126	0,00176	0,22	680,00	10,23	686,60	35,38	709,00	145,62	0,97
42	0,92884	0,03083	0,10834	0,00132	0,37	663,10	7,68	667,00	16,23	681,30	71,80	0,59
43	0,91270	0,10179	0,10623	0,00190	0,16	650,80	11,09	658,50	54,04	685,90	222,62	1,18
44	0,96432	0,11194	0,11097	0,00231	0,18	678,40	13,38	685,50	57,86	709,90	230,69	1,05
45	0,95884	0,04450	0,11131	0,00186	0,36	680,30	10,79	682,70	23,07	691,40	99,30	0,35
46	0,90759	0,07188	0,10755	0,00187	0,22	658,50	10,90	655,80	38,26	647,30	163,20	-0,41
47	0,89048	0,06380	0,10424	0,00190	0,25	639,20	11,12	646,60	34,27	673,60	148,57	1,16
48	0,89379	0,06838	0,10549	0,00184	0,23	646,50	10,75	648,40	36,66	656,10	157,96	0,29
49	0,96216	0,04284	0,11214	0,00174	0,35	685,10	10,11	684,40	22,17	683,00	95,29	-0,10
50	0,91856	0,03144	0,10793	0,00145	0,39	660,70	8,45	661,60	16,64	665,50	74,72	0,14
51	0,90051	0,03149	0,10724	0,00149	0,40	656,70	8,68	652,00	16,83	636,70	76,64	-0,72
52	0,88874	0,01942	0,10708	0,00113	0,48	655,80	6,59	645,70	10,44	611,70	49,62	-1,54
53	0,93751	0,02769	0,11441	0,00139	0,41	698,30	8,05	671,60	14,51	583,90	65,77	-3,82
54	0,93309	0,03288	0,10858	0,00149	0,39	664,50	8,64	669,30	17,27	686,30	76,51	0,72
55	0,93425	0,04126	0,10981	0,00176	0,36	671,60	10,22	669,90	21,66	664,90	95,15	-0,25
56	0,94016	0,03757	0,10950	0,00158	0,36	669,80	9,15	673,00	19,66	684,50	86,00	0,48
57	0,93321	0,14520	0,10740	0,00207	0,12	657,60	12,07	669,30	76,26	710,00	300,93	1,78
58	0,93017	0,07732	0,10817	0,00221	0,25	662,10	12,87	667,70	40,68	687,70	170,37	0,85
59	0,89792	0,03205	0,10479	0,00131	0,35	642,40	7,64	650,60	17,15	680,10	76,99	1,28

Примечание. Жирным шрифтом выделены принятые значения возраста циркона, определенные по отношению $^{206}\text{Pb}/^{238}\text{U}$; подчеркнуты — минимальный и максимальный возраст цирконов в пробе; D — дискордантность, вычисленная по формуле: $D = [100 \cdot (\text{воздраст по } ^{206}\text{Pb}/^{238}\text{U}) / \text{воздраст по } ^{238}\text{Pb}^{207}/^{235}\text{U}) - 1]$.

Корреляция

Сокольинские и лежащие ниже по разрезу морозовские отложения коррелируются с породами верхневендинской енганепайской свиты и верхнерифейско-верхневендинской бедамельской серии, завершающих разрезprotoуралид-тиманид, распространенных в более южных районах Полярного Урала (на хребтах Енганэ-пэ, Манитанырд, Оченырд) (Государственная..., 2005; Кузнецова и др., 2007, 2009).

Отложения енганепайской свиты представлены ритмичным чередованием песчаников и авлеролитов и их туфогенных разностей, среди которых на отдельных уровнях встречаются грубозернистые породы — конгломераты (Государственная..., 2005; Кузнецова и др., 2007, 2009). В составе бедамель-

ской серии преобладают вулканиты от основного до кислого состава, а также туфоконгломераты и туфогравелиты (Государственная..., 2005). Находящиеся в сложных взаимоотношениях породы енганепайской свиты и бедамельской серии со структурным несогласием перекрыты палеозойскими толщами, разрез которых начинается с нижнеордовикской манитанырдской свиты, содержащей продукты разрушения вулканических пород этих свит и одновозрастных им гранитоидов (Соболева и др., 2012).

Возраст енганепайской свиты ограничен датировкой самой молодой популяции детритных цирконов из песчаников этой свиты, попадающей в диапазон 670–590 млн лет (Кузнецова и др., 2009).

Нижний возрастной предел енганепэйской свиты принят как поздний венд на основании данных изотопного датирования субвуликанических риолитов лядгейского комплекса (555–522 млн лет) верхней части бедамельской серии (Шишкун и др., 2004). Согласно более новым результатам геохронологических исследований туфов верхней части бедамельской серии ($554,7 \pm 3,3$ млн лет) и туфов нижней части енганепэйской свиты ($558,7 \pm 3,9$ и $552,0 \pm 3,6$ млн лет), в пределах хребта Енганэ-пэ они формировались в течение венда (Соболева и др., 2013).

В Оченырском районе бедамельская серия расчленяется на две свиты: очетывисскую, отнесенную к верхнему рифию, и лядгейскую, датируемую верхнерифейско-вендским возрастом на основании данных изотопного датирования субвуликанических риолитов лядгейского комплекса хребта Енганэ-пэ (Шишкун и др., 2004). Изотопное датирование вулканогенных толщ для этого района не проводилось. Кроме того, в более южных районах на Приполярном Урале развиты отложения саблегорской свиты. В ее составе наибольшим развитием пользуются эфузивы кислого состава и их туфы, а также разности основного и среднего составов. Возраст ее принят как позднерифейско-кембрийский на основании данных изотопного датирования саблегорского базальт-риолитового комплекса (Соболева, 2004).

В связи с тем что породы сокольниковской и морозовской свит Амдерминского поднятия, так же как и весьма сходные с ними по составу породы енганепэйской свиты и бедамельской серии Полярного Урала и породы саблегорской свиты Припо-

лярного Урала, завершают разрезыprotoуралид-тигманид все эти комплексы можно рассматривать как близко одновозрастные образования. На этом основании, и принимая во внимание приведенные выше результаты датирования дегритовых цирконов, сокольниковскую свиту можно сопоставлять с верхами верхнего рифея — веном.

Выходы

Результаты U-Pb изотопного датирования дегритовых цирконов из песчаников нижнесокольниковской подсвиты указывают на то, что эти песчаники формировались за счет накопления продуктов размыва позднерифейских магматических образований. Такими образованиями, вероятно, являлись вулканиты морозовской свиты хребта Пай-Хой, для которых ранее была показана островодужная природа (Канева, 2013). На основании изучения пробы 4000/5 можно сделать вывод о том, что нижний возрастной предел сокольниковской свиты соответствует окончанию позднего рифея. По составу, условиям образования и тектоническому положению сокольниковская свита может рассматриваться как близкий аналог терригенно-туфогенно-вулканогенных толщ (енганепэйской свиты и бедамельской серии) более южных районов западной зоны Полярного Урала и саблегорской свиты западной зоны Приполярного Урала. На этом основании возраст сокольниковской свиты можно определить в интервале конец позднего рифея — венд.

Работа выполнена при частичной финансовой поддержке УрО РАН (проект № 15-15-5-73).

ЛИТЕРАТУРА

Государственная геологическая карта Российской Федерации. Масштаб 1:200 000. Серия Полярно-Уральская. Лист Q-41-XI. Отв. исп. М.А. Шишкун. Объяснит. зап., 2005.

Забродин В.Е., Шляхова Х.Т. О возрасте амдерминской свиты Пай-Хоя // Докл. АН СССР. 1970. Т. 194, № 3. С. 646–648.

Канева Т.А. Петрологическое сравнение вулканитов морозовской свиты северо-восточной части хребта Пай-Хой и бедамельской серии хребта Оченыр // Структура, вещества, история литосферы Тимано-Североуральского сегмента. Мат-лы 22-й научной конференции. Сыктывкар: Геопринт, 2013. С. 59–63.

Кузнецов А.Б., Старикова Е.В. Sr-изотопная хемостратиграфия карбонатных пород Амдерминского поднятия, Пай-Хой // Докл. АН. 2016 (в печати).

Кузнецов Н.Б. Комплексы protoуралид-тигманид и позднедокембрийско-раннепалеозойская эволюция восточного и северо-восточного обрамления Восточно-Европейской платформы: Дисс. ... докт. геол.-минерал. наук. М.: Ин-т физики Земли им. О.Ю. Шмидта РАН, 2009. 475 с.

Кузнецов Н.Б., Куликова К.В., Удоратина О.В. Структурные особенности protoуралид поднятия Енганэ-Пэ (Полярный Урал) как отражение кембрийской колли-

зии Балтики и Арктиды // Докл. АН. 2007. Т. 415, № 1. С. 77–82.

Кузнецов Н.Б., Натапов Л.М., Белоусова Е.А. и др. Первые результаты изотопного датирования дегритовых цирконов из кластогенных пород комплексов protoуралид-тигманид: вклад в стратиграфию позднего докембра поднятия Енганэ-пэ (запад Полярного Урала) // Докл. АН. 2009. Т. 424, № 6. С. 363–368.

Маслов М.А., Шляхова Х.Т. Стратиграфия доордовикских метаморфических образований Пай-Хоя // Стратиграфия и литология докембра и нижнего палеозоя Урала. Тр. Ин-та геологии и геохимии. Вып. 91. Свердловск, 1972. С. 55–67.

Петтиджон Ф., Поттер П., Сивер Р. Пески и песчаники. М.: Мир, 1976. 536 с.

Соболева А.А., Удоратина О.В., Кузнецов Н.Б. и др. Возраст покровной фации наиболее поздних вулканитов доуралид Полярного Урала по данным U-Pb датирования цирконов // От минералогии до геохимии. Сб. научных трудов, посвященный 130-летию со дня рождения академика А.Е. Ферсмана. Крым, 2013. С. 192–194.

Соболева А.А. Вулканиты и ассоциирующие граниты Приполярного Урала. Екатеринбург: УрО РАН, 2004. 147 с.

Соболева А.А., Кузнецов Н.Б., Миллер Э.Л. и др. Первые результаты U/Pb-датирования дегритовых цирконов

из базальных горизонтов уралид (Полярный Урал) // Докл. АН. 2012. Т. 445, № 5. С. 570–576.

Терешко В.В. Стратиграфия верхнепротерозойских отложений северо-западного Пай-Хоя // Верхний докембрий севера Европейской части СССР. 1983. С. 130–134.

Терешко В.В. Новые данные по стратиграфии верхнепротерозойских отложений северо-западного Пай-Хоя // Стратиграфия и палеогеография фанерозоя европейского северо-востока СССР. Труды X Геол. конф. Коми АССР. Сыктывкар, 1987. С. 9–12.

Терешко В.В. Органические остатки в верхнем докембрея севера Урала // Труды XI Геол. конф. Коми АССР. Сыктывкар, 1990. С. 143–148.

Тимонин Н.И., Юдин В.В., Беляев А.А. Палеогеодинамика Пай-Хоя. Екатеринбург: УрО РАН, 2004. 226 с.

Хубанов В.Б., Баянтуев М.Д., Цыганков А.А. U-Pb изотопное датирование цирконов из Рz₃-Mz магматических комплексов Забайкалья методом магнитно-секторной масс-спектрометрии с лазерным пробоотбором: процедура определения и сопоставления с SHRIMP данными // Геол. и геофиз. 2016. Т. 57, № 1. С. 241–258.

Шишкин М.А., Шкарубо С.И., Молчанова Е.В. и др. Государственная геологическая карта Российской Фе-

дерации. Масштаб 1:1 000 000 (третье поколение). Серия Южно-Карская. Лист R-41 — Амдерма. Объяснит. зап. СПб.: Картфабрика ВСЕГЕИ, 2012. 383 с.

Шишкин М.А., Малых И.М., Матуков Д.И., Сергеев С.А. Риолитовые комплексы западного склона Полярного Урала // Геология и минеральные ресурсы европейского северо-востока России: Мат-лы XIV Геологического съезда Республики Коми. Т. II. Сыктывкар: Геопринт, 2004. С. 148–150.

Юдович Я.Э., Кетрис М.П. Основы литохимии. СПб.: Наука, 2000. 479 с.

Middleton G.V. Chemical composition of sandstones // Geol. Soc. Amer. Bull. 1960. Vol. 71. P. 1011–1026.

Roser B.P., Korsch R.J. Determination of tectonic setting of sandstone-mudstone suites using SiO₂ content and K₂O/Na₂O ratio // J. Geol. 1986. Vol. 94, N 5. P. 635–650.

Sláma J., Kosler J., Condon D.J. et al. Plešovice zircon: a new natural reference material for U-Pb and Hf isotopic microanalysis // Chem. Geol. 2008. Vol. 249. P. 1–35.

Wiedenbeck M., Alle P., Corfu F. et al. Three natural zircon standards for U-Th-Pb, Lu-Hf, trace element and REE analyses // Geostandards Newsletter. 1995. N 19. P. 1–23.

EVALUATION OF LOWER AGE LIMIT OF NEOPROTEROZOIC SOKOLIY FORMATION IN NORTHWESTERN PAY-KHOY BASED ON DETRITAL ZIRCONS U-Pb DATING

T.A. Kaneva, O.V. Udaratina, E.V. Starikova, V.B. Khubanov

The results of U-Pb dating of detrital zircons from sandstones from a lower unit of Sokoliy Formation, northwestern Pay-Khoy are reported. It is established that the lower limit for the age of the formation corresponds to the Latest Riphean – Vendian (634–705 Ma). These sandstones were formed due to the accumulation of erosional products of Late Riphean magmatic rocks originated from island arc. The lack of roundness and sorting of the material indicates the proximity of source province.

Key words: sandstone, detrital zircons, Late Riphean, source province.

Сведения об авторах: Канева Татьяна Анатольевна — аспирант Ин-та геологии Коми НЦ УРО РАН; e-mail: ta_kaneva@mail.ru; Удоратина Оксана Владимировна — канд. геол.-минерал. наук, науч. сотр. лаб. петрографии Ин-та геологии Коми НЦ УрО РАН; e-mail: udoratina@geo.komisc.ru; Старикова Елена Вячеславовна — канд. геол.-минерал. наук, геолог ЗАО «Поляргео»; e-mail: starspb@mail.ru; Хубанов Валентин Борисович — канд. геол.-минерал. наук, науч. сотр. ГИН СО РАН; e-mail: khubanov@mail.ru